

بررسی اثر متقابل ژنتیک و محیط در شرایط تنش‌های متفاوت رطوبتی با استفاده از تجزیه گرافیکی GGE-biplot در ارقام مصنوعی آفتابگردان (*Helianthus annuus* L.)

ابراهیم همتی^۱، سیدسعید پورداد^{۲*}، رجب چوکان^۳

۱، دانشجو، گروه اصلاح نباتات، واحد علوم و تحقیقات، دانشگاه آزاد اسلامی، تهران، ایران.

۲، عضو هیئت‌علمی (استاد)، موسسه تحقیقات کشاورزی دیم کشور، سازمان تحقیقات آموزش و ترویج کشاورزی.

۳، عضو هیئت‌علمی (استاد)، موسسه تحقیقات اصلاح و تهیه نهال و بذر، سازمان تحقیقات آموزش و ترویج کشاورزی.

تاریخ دریافت: ۹۵/۱۲/۱۸؛ تاریخ پذیرش: ۹۶/۰۲/۰۴

چکیده

به منظور بررسی اثر متقابل ژنتیک و محیط و شناسایی ژنتیپ‌های پایدار، ۲۰ ژنتیپ اصلاح شده داخلی آفتابگردان در ۱۰ محیط شامل چهار منطقه در شرایط رطوبتی متفاوت طی سه سال زراعی (۹۰-۹۱، ۹۲-۹۳، ۸۹-۹۰)، در قالب طرح بلوك‌های کامل تصادفی مورد ارزیابی قرار گرفتند. داده‌های حاصل از عملکرد دانه از طریق تجزیه گرافیکی GGE با پلات (Sil-20) (G17)، (Sil-75) (G15)، (Sil-42) (G3)، (Sil-82) (G14)، (Sil-162) (G6) و (Sil-82) (G1) از نظر پایداری و عملکرد مطلوب‌ترین ژنتیپ‌ها بودند، همچنین ژنتیپ‌های (G9)، (G20) (G94) (G4) و (G21) (G9) به عنوان نایاب‌ترین ژنتیپ‌ها شناخته شدند. نمودار رابطه بین محیط‌ها نشان داد که بین محیط‌های E3 و E6، محیط‌های E5 و E7 و همچنین بین محیط‌های E2 و E8 همبستگی بالای وجود داشت. محیط E9 با سه محیط E2، E8 و E10 همبستگی مثبت داشت. از طرفی محیط‌های E7 و E3 با E2، E10 و E8 همبستگی منفی و تزدیک به -1 داشتند. بین محیط گروه E5، E6، E7، E8 و E9 با محیط‌های E10، E2، E10 و E8 همبستگی وجود نداشت، لذا تقریباً محیط‌های مجزا محسوب شدند. مطلوب‌ترین محیط، محیط E4 (سراورود، سال زراعی ۸۹-۹۰ با آبیاری تكمیلی) بود که کمترین فاصله را از محیط فرضی ایده‌آل داشت. محیط E1 (گچساران، سال زراعی ۹۲-۹۳، بدون آبیاری) به عنوان نامطلوب‌ترین محیط شناسایی گردید.

واژه‌های کلیدی: آفتابگردان، اثر متقابل، پایداری، GGE با پلات.

مقدمه

پروتئین می‌باشد. پس از استخراج رونعن، کنجاله‌هایی که باقی می‌ماند دارای ۱۳ درصد فیبر و ۴۰ درصد پروتئین بوده و به دلیل این که کنجاله این گیاه دارای اسیدآمینه لیستین، آرژنین و میتونین است در تغذیه دام و طیور ارزش زیادی دارند. پدیده اثر متقابل ژنتیپ و محیط برای دانشمندان علوم ژنتیک، اصلاح نباتات و اصلاح دام دارای اهمیت ویژه‌ای است (Allard et al., 1964). آگاهی از اثر متقابل ژنتیپ و محیط به اصلاح گران نبات کمک می‌کند تا در ارزیابی ژنتیپ‌ها، با دقت بیشتری عمل کرده و بهترین

آفتابگردان یکی از مهم‌ترین دانه‌های روغنی است که در حدود ۱۱/۸ درصد از تولید جهانی روغن نباتی را به خود اختصاص داده است. دانه آفتابگردان بسته به ارقام مختلف دارای ۲۶ تا ۵۰ درصد روغن است. این روغن نه تنها فاقد هرگونه اسید چرب مضر برای انسان یا دام است بلکه به علت داشتن اسیدهای چرب مفید نظیر اسید اولئیک، اسید پالمتیک و اسید استئاریک موجب شده است که امروزه میلیون‌ها نفر در سراسر جهان از آن استفاده نمایند (Seiler, 2007). دانه آفتابگردان دارای حدود ۱۶ درصد

اهداف تحقیق شامل مطالعه اثر متقابل ژنوتیپ و محیط در آزمایش‌های ناحیه‌ای عملکرد دانه آفتابگردان و معرفی پایدارترین و مطلوب‌ترین رقم و یا ارقام آفتابگردان در مناطق و محیط‌های تحت بررسی بود.

مواد و روش‌ها

جهت بررسی اثر متقابل ژنوتیپ و محیط ۱۷ رقم مصنوعی آفتابگردان، به اسمی Sil-94، Sil-42، Sil-54، Sil-96، Sil-140، Sil-231، Sil-205، Sil-200، Sil-162، Sil-75، Sil-82، Sil-80، Sil-224، Sil-211، Sil-20، Sil-53 و سه رقم آزادگردهافشان Zaria، Lacomka و Armaverski به عنوان شاهد موردمطالعه قرار گرفتند. در این آزمایش ۴ مکان به نام‌های سراورد (کرمانشاه)، گچساران، قاملو (کردستان) و گنبد حضور داشتند که در سراورد کرمانشاه در سال‌های زراعی ۹۰-۹۱، ۹۱-۹۲، ۹۲-۹۳ در دو شرایط بدون آبیاری و آبیاری تکمیلی کشت انجام شد. در قاملو در دو سال زراعی ۹۰-۹۱ و ۹۱-۹۲، در گچساران و گنبد نیز در سال زراعی ۹۲-۹۳ فقط در شرایط بدون آبیاری کشت صورت گرفت. لذا در کل ۱۰ محیط مورد آزمایش قرار گرفت. آزمایش در کلیه ایستگاه‌ها، در قالب طرح بلوک‌های کامل تصادفی با سه تکرار اجرا شد. عملیات تهیه بستر شامل شخم و دیسک در اوایل مهرماه و پنجه غازی و دیسک در اوایل اسفندماه، هم‌چنین کودپاشی بر اساس نتایج تجزیه خاک صورت گرفت. هر کرت شامل چهار خط چهارمتری به فاصله ۵۰ سانتی‌متر از یکدیگر بودند که بذرها به فاصله ۲۵ سانتی‌متر از یکدیگر روی ردیف‌ها کشت شدند. در هر محیط تمامی ۲۰ ژنوتیپ مورد آزمایش کشت شدند. مشخصات ژنوتیپ‌های مورد آزمایش و کد آن‌ها در جدول ۱ و مشخصات جغرافیایی محیط‌های مورد آزمایش در جدول ۲ و ۳ نشان داده شده است. پس از جمع‌آوری داده‌های مربوط به محیط‌های مورد آزمایش، محاسبات آماری شامل تجزیه واریانس مرکب و تجزیه گرافیکی GGE با پلات انجام شد. برای تجزیه واریانس مرکب از نرم‌افزار SAS و تجزیه گرافیکی از نرم‌افزار GGE با پلات استفاده شد.

نتایج و بحث

نتایج تجزیه واریانس مرکب برای صفت عملکرد دانه در ژنوتیپ‌های تحت بررسی در کلیه محیط‌های مورد آزمایش

ژنوتیپ‌ها را انتخاب کنند (Allard and Bradshaw, 1964; Purchase, 1997 ژنوتیپ (G) به اضافه اثر متقابل ژنوتیپ و محیط دارد. این کمیت بخشی از تغییرات را که به ارزیابی ارقام مربوط می‌شود، تشکیل می‌دهد. روش با پلات توسط گابریل (Gabriel, 1971) به وجود آمد و بعداً توسط کمپتون (Kempton, 1984) و زوبل و همکاران (Zobel et al., 1988) گسترش یافت. کاربرد وسیع و سودمندی (Yan et al., 2000) با پلات توسط یان و همکاران (GEI) بازگشایی در تجزیه ژنتیک کمی و اصلاح نباتات است که علاوه بر تجزیه GEI (اثر متقابل ژنوتیپ و محیط)، تجزیه اثر متقابل ژنوتیپ و صفت، ژنوتیپ و مارکر و تجزیه داده‌های مربوط به تلاقی دی‌آلل را نیز انجام می‌دهد. این خصوصیات، GGE با پلات را به یک ابزار قوی و جامع در ژنتیک کمی و اصلاح نباتات تبدیل نموده است. آنچه در ارزیابی ژنوتیپ‌ها در محیط‌های مختلف بسیار حائز اهمیت است، این است که اثر محیط در اکثر موارد بسیار بزرگ بوده، اما قابل بهره‌برداری نیست. لذا حذف اثر محیط از داده‌ها و تمرکز بر اثر ژنوتیپ (G) و اثر متقابل ژنوتیپ و محیط (GE) می‌باشد بهصورت توانم بررسی شوند. روش GGE با پلات این امکان را می‌دهد که این دو اثر هم‌زمان و بهصورت ترسیمی موردنظری قرار گیرند (Yan and Kang, 2003).

در بین روش‌های چند متغیره تجزیه پایداری، سه روش GGE Biplot، AMMI و تجزیه به مؤلفه‌های اصلی (PCA) بر پایه ریشه راکد منفرد (SVD) بنا نهاده شده‌اند و اغلب برای تجزیه و تحلیل داده‌های آزمایش‌های مقایسه عملکرد ناحیه‌ای استفاده می‌شوند. در روش GGE با پلات اثر اصلی ژنوتیپ (G) و اثر متقابل ژنوتیپ و محیط (GE) از هم تفکیک نشده‌اند. گاچ (Gauch, 2006) اظهار داشت که روش AMMI به جای تفکیک GE از یکدیگر همواره بر روش GGE با پلات ارجحیت دارد و یا حداقل از نظر دقیقت با آن برابر است. این در حالی است که کنگ (Kang, 1993) عقیده دارد که از دیدگاه بهنژادگران و نیز تولیدکنندگان محصولات زراعی، گرینش ژنوتیپ‌ها بر اساس G و یا GE به تنها یابی مدنظر نیست. یان و همکاران (Yan et al., 2007) نیز اعتقاد دارند که روش GGE با پلات AMMI از نظر تجزیه داده‌های ژنوتیپ×محیط از روش موفق‌تر است.

واریانس اثر متقابل ژنوتیپ در محیط بخش کوچکی (۱۶/۸۹٪) از تغییرات، اما بیشتر از واریانس بین ژنوتیپ‌ها (۰/۳/۸۴٪) را توجیه کرده است. با توجه به این که محیط‌های آزمایش طیف وسیع آب و هوایی مناطق سرد، معتدل و گرمسیر کشور را شامل شده است، لذا تخصیص عمدۀ تغییرات به واریانس محیط‌ها قابل توجیه است. پورداد و غفاری (Pourdad and Ghaffari, 2009) در کلزا٪۷۹ Pourdad and (۲۰۱۲) تغییرات و پورداد و جمشید مقدم (Jamshidmoghaddam, ۲۰۱۲) در گلنگ پاییزه٪۸۰ می‌دانند. اثر متقابل ژنوتیپ در تغییرات را به محیط‌ها نسبت دادند. اثر متقابل ژنوتیپ در محیط نیز سهم کوچکی، اما بیشتر از ژنوتیپ، را به خود اختصاص داده بود.

نشان داد که اثرات محیط و اثر متقابل ژنوتیپ و محیط در سطح احتمال یک درصد برای عملکرد دانه معنی‌دار بود (جدول ۴).

اختلاف بین محیط‌ها در کلیه صفات می‌تواند ناشی از اختلاف مکان‌ها و نیز اختلاف سال‌های مختلف آزمایش از نظر مقدار بارندگی و دما باشد. همچنین معنی‌دار بودن اثر متقابل ژنوتیپ و محیط در سطح احتمال یک درصد برای عملکرد دانه، بیانگر عکس العمل متفاوت ارقام در محیط‌های متفاوت است. محاسبه درصد مجموع مربعات سه منبع محیط، ژنوتیپ و اثر متقابل ژنوتیپ و محیط به مجموع آن‌ها در جدول (۴) نشان داد که عمدۀ تغییرات موجود در داده‌ها به وسیله واریانس محیط‌ها توجیه شده (۰/۶۲/۵۹٪) و

جدول ۱. ژنوتیپ‌های مورد آزمایش آفتابگردان و کد آن‌ها

Table 1. Sunflower genotypes under investigation and their codes

شماره ژنوتیپ Number of genotype	کد ژنوتیپ Genotypic code	نام ژنوتیپ Name of genotype	شماره ژنوتیپ Number of genotype	کد ژنوتیپ Genotypic code	نام ژنوتیپ Name of genotype
1	G1	Sil-96	11	G11	Sil-211
2	G2	Sil-54	12	G12	Sil-224
3	G3	Sil-42	13	G13	Sil-80
4	G4	Sil-94	14	G14	Sil-82
5	G5	Sil-140	15	G15	Sil-75
6	G6	Sil-162	16	G16	Sil-53
7	G7	Sil-200	17	G17	Sil-20
8	G8	Sil-205	18	G18	Lacomka
9	G9	Sil-231	19	G19	Zarya
10	G10	Sil-210	20	G20	Armaveski

جدول ۲. محیط‌های آزمایشی و مشخصات جغرافیایی آن‌ها

Table 2. Test environments and their geographical specifications

بارندگی بلندمدت Long-term rainfall (mm)	ارتفاع Height (m)	عرض جغرافیایی Latitude	طول جغرافیایی Longitude	مکان Location
487	710	N'50°50	E'20°30	گچساران Gachsaran
362	1850	N'23° 35	E'14° 47	قاملو Ghamlo
454	1351	N'19° 34	E'07° 47	کرمانشاه Kermanshah
500	52	N'25° 37	E'16°55	گنبد Gonbad

جدول ۳. کد، میزان بارندگی و متوسط درجه حرارت هر یک از محیط‌های تحت بررسی

Table 3. Code, precipitation and Average temperature of environments under study

Conditions	شرایط	سال زراعی Cropping year	Location environment	محل محیط	کد محیط Environmental code	متوسط درجه حرارت (سانتبگراد) Average temperature (°C)	بارندگی سالیانه (میلی متر) Annual rainfall (mm)
Without- Irrigation	بدون آبیاری	۹۲-۹۳	گچساران Gachsaran		E1	20	410.4
Without- Irrigation	بدون آبیاری	۹۰-۹۱	قاملو Ghamlo		E2	6.2	313.8
Without- Irrigation	بدون آبیاری	۸۹-۹۰	کرمانشاه Kermanshah		E3	11.57	342.5
With Irrigation	با آبیاری	۸۹-۹۰	کرمانشاه Kermanshah		E4	11.57	342.5
Without- Irrigation	بدون آبیاری	۹۰-۹۱	کرمانشاه Kermanshah		E5	10.6	302.7
With Irrigation	با آبیاری	۹۰-۹۱	کرمانشاه Kermanshah		E6	10.6	302.7
Without- Irrigation	بدون آبیاری	۹۲-۹۳	گنبد Gonbad		E7	17.98	335.8
Without- Irrigation	بدون آبیاری	۹۲-۹۳	کرمانشاه Kermanshah		E8	11.1	401.3
With Irrigation	با آبیاری	۹۲-۹۳	کرمانشاه Kermanshah		E9	11.1	401.3
Without- Irrigation	بدون آبیاری	۹۲-۹۳	قاملو Gamloo		E10	6.3	291

جدول ۴. تجزیه واریانس مرکب عملکرد دانه آفتابگردان

Table 4. Combine analysis of variance for sunflower seed yield.

S.O.V	منبع تغییرات	درجه آزادی df	مجموع مربعات SS	میانگین مربعات MS	درصد از مجموع مربعات کل Percentage of total SS
محیط Environment (E)		9	28.35	3.15 **	62.59
Error 1	خطای اول	18	3.5	0.19	
Genotype (G)	ژنوتیپ	19	1.74	0.09 **	3.84
G× E	ژنوتیپ×محیط	171	7.65	0.04 **	16.89
Error 2	خطای دوم	380	3.05	0.01	
Total	کل	599	45.29	0.08	

* و ** به ترتیب عارتاًند از معنی‌دار در سطح احتمال ۰.۵٪ و ۰.۱٪

* and ** significant at 5 and 1 per cent level of probability respectively.

است (Yan, 2002). شکل (۱)، نتایج حاصل از روش GGE با پلات در تمام محیط‌ها را نمایش می‌دهد. در این شکل

در نمودار با پلات محور افقی (PC1)، معرف اثر اصلی G×E ژنوتیپ و محور عمودی (PC2)، معرف اثر متقابل

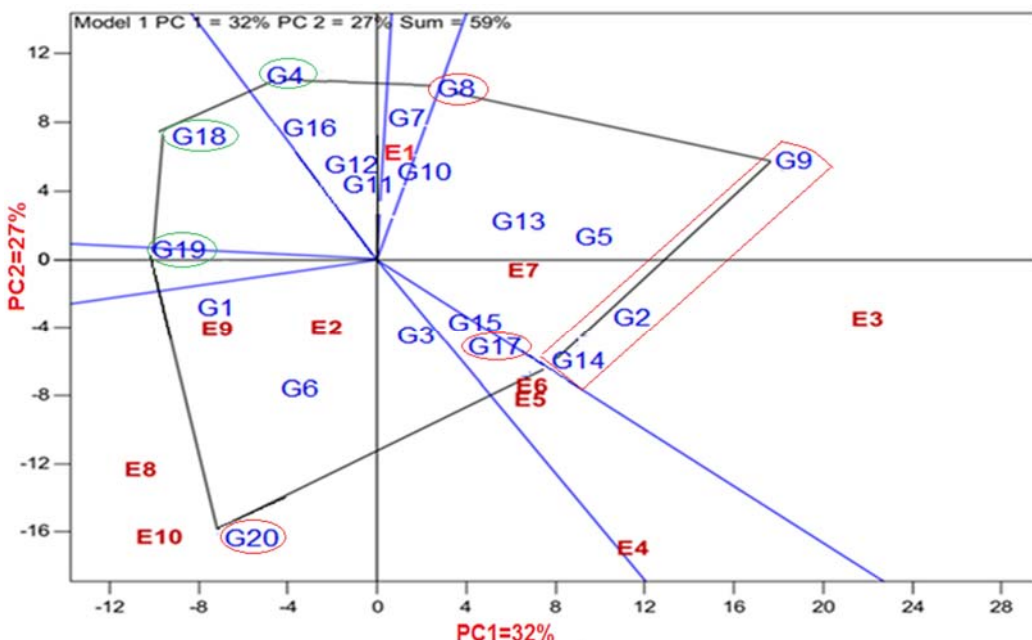
ژنتیپ‌های ضعیف در اکثر محیط‌ها به شمار می‌آیند. پورداد Pourdad and Jamshidmoghaddam, 2012) با استفاده از روش GGE بای‌پلات در بررسی ۱۴ ژنتیپ گلرنگ در شش ایستگاه تحقیقاتی نشان دادند که چندضلعی بای‌پلات منجر به شناسایی شش ژنتیپ برتر و چهار محیط بزرگ شد. هفت ژنتیپ دیگر در نواحی قرار گرفتند که هیچ محیطی قرار نداشت.

در آزمایش‌های تعیین سازگاری و پایداری ارقام که در چندین سال و مکان اجرا می‌شوند، با تعیین همبستگی بین محیط‌ها می‌توان محیط‌های مشابه را شناسایی و حذف نمود که این امر منجر به کاهش هزینه‌ها خواهد شد (Yan et al., 2007). بررسی (and Rajcan, 2002; Yan and Kang, 2003) بین محیط‌ها (شکل ۲) نشان داد که زاویه بین بردارهای محیط‌های E3 و E7 و نیز بین محیط‌های E4، E5 و E6 و همچنین بین محیط‌های E2، E10 و E8 بسیار به هم نزدیک بوده و بیانگر همبستگی بالای این محیط‌ها با یکدیگرند. همچنین محیط E9 با سه محیط E2، E8 و E10 زاویه حاده داشته که بیانگر همبستگی مثبت بین آن‌هاست. در مقابل زاویه بین بردارهای محیط‌های E7 و E3 با محیط‌های E10، E2، E8 و E9 باز بوده که بیانگر وجود همبستگی منفی و نزدیک به -۱ بین آن‌ها بود. محیط گروه E، E6، E5 و E4 با محیط‌های گروه E10، E2، E8 و E9 زاویه نزدیک به قائمه داشتند لذا حدوداً محیط‌های E10 با محیط محسوب می‌شوند. محیط‌های E2 تا E1 با محیط مجزا محسوب می‌شوند. محیط‌های E1 همبستگی ضعیفی دارند. ویژگی مهم دیگر در بای‌پلات، همبستگی بین محیط‌ها و طول بردار محیط است که تقریبی از انحراف معیار درون هر محیط بوده و نیز شاخصی برای قابلیت تمایز محیط‌ها است (Yan and Kang, 2003). قابلیت تمایز یکی از ویژگی‌های مهم هر محیط بوده، بهطوری‌که محیط‌های فاقد قابلیت تمایز نمی‌توانند اطلاعات مفیدی در مورد ارقام رائمه نمایند (Kang, 2003). بررسی بردارهای محیط‌ها در شکل (۲) نشان داد که محیط‌های E7 (گنبد ۹۳-۹۲، بدون آبیاری)، E2 (قاملو ۹۱-۹۰، بدون آبیاری) و E1 (گچساران ۹۲-۹۳، بدون آبیاری) دارای طول بردار نسبتاً کوتاه بودند که بیانگر کم بودن قابلیت تمایز آن‌ها است. در مقابل محیط‌های E3 (کرمانشاه ۸۰-۸۹، بدون آبیاری)، E5 (کرمانشاه ۹۰-۹۱، بدون آبیاری)، E6 (کرمانشاه ۹۱-۹۰، آبیاری تکمیلی)، E4 (کرمانشاه ۹۳-۹۲، آبیاری تکمیلی)، E10 (قاملو ۹۰-۸۹، آبیاری تکمیلی)،

مشاهده شد که مؤلفه اصلی اول (PC1)، ۳۲ درصد، مؤلفه اصلی دوم (PC2)، ۲۷ درصد و درمجموع ۵۹ درصد از تغییرات کل ژنتیپ در محیط را توجیه کرده‌اند که بیانگر معتبر بودن نسبی بای‌پلات در توجیه تغییرات G+GE است. اگر مجموع مؤلفه‌های اصلی اول و دوم نتواند اکثر تغییرات موجود را توجیه نماید، بیانگر ماهیت پیچیده اثر متقابل ژنتیپ و محیط بوده (Yan and Tinker, 2005)، اما الزاماً به معنای غیر معتبر بودن بای‌پلات نیست Yan et al., 2007). روش‌های مختلفی برای استفاده از یک GGE بای‌پلات وجود دارد که بهترین آن استفاده از چندضلعی است که برای شناسایی و مطالعه محیط‌های بزرگ استفاده می‌شود. بررسی شکل چندضلعی اثر متقابل ژنتیپ در محیط بهمنظور تعیین ژنتیپ‌های بزرگ در شکل (۱) نشان داد که ژنتیپ‌های G14، G9، G18، G4، G8، G1، G20، G19 که بیشترین فاصله از مرکز بای‌پلات داشته و در رؤس چندضلعی قرار دارند، ژنتیپ‌های بزرگ بودند. مابقی ژنتیپ‌ها که در داخل این حلقه قرار دارند به مرکز بای‌پلات نزدیک‌ترند. خطوطی که از مرکز بای‌پلات رسم شده‌اند، شکل پلی‌گون (شکل ۱) را به هفت مگا محیط تقسیم کرده است. اولین مگا محیط شامل محیط‌های E4 و E5 و E6 بود که در آن ژنتیپ G17 دارای بیشترین عملکرد بود. دومین مگا محیط شامل محیط‌های E3 و E7 بود که در آن ژنتیپ G14 و G9 ژنتیپ‌های بزرگ این محیط بودند. سومین مگا محیط حاوی محیط E1 بود که ژنتیپ G8 بزرگ‌تر این محیط بود. چهارمین مگا محیط شامل محیط‌های E2، E9، E10 و E8 بود که در آن ژنتیپ G20، ژنتیپ برتر بود. در مگا محیط یک، ژنتیپ G15، در مگا محیط دوم، ژنتیپ‌های G5 و G13، در مگا محیط سوم، ژنتیپ‌های G7 و G10 و در مگا محیط چهارم، ژنتیپ‌های G1 و G6 علاوه بر ژنتیپ واقع در رأس وجود داشتند. این ارقام در هر بخش دارای شباخت زیادی به ژنتیپ‌های واقع در رأس بوده و با محیط‌های بزرگ مربوطه سازگاری داشتند. در سه‌بخشی که ژنتیپ‌های G4 و G18 در رأس آن‌ها قرار دارند، هیچ محیطی قرار نگرفته است. این امر بیانگر آن است که این سه رقم در هیچ‌یک از محیط‌ها عملکرد قابل قبولی نداشته و جزء ارقام ضعیف در اکثر محیط‌ها بودند. همچنین ژنتیپ‌های G11، G12 و G16 در محیطی که ژنتیپ G4 در رأس آن قرار دارد، جزء

رطوبتی نشان دادند که دو منطقه شیروان و کوهدشت محیط‌های مشابهی بوده و وجود یا عدم وجود تنفس نتوانسته بود بین آن‌ها تفاوت زیادی ایجاد کند، اما محیط‌های زنجان، قاملو، کوهدشت و سرارود (کرمانشاه) در شرایط بدون تنفس رطوبتی دارای قابلیت تمایز بیشتری بودند.

بدون آبیاری)، E8 (کرمانشاه ۹۲-۹۳، بدون آبیاری) و E9 (کرمانشاه ۹۲-۹۳، آبیاری تکمیلی) دارای طول بردار بلند و درنتیجه قابلیت تمایز بیشتری بودند. پورداد و جمشید مقدم (Pourdad and Jamshidmoghaddam, 2012) با استفاده از روش GGE بای‌پلات در بررسی ۱۴ ژنوتیپ گلنگ در شش ایستگاه تحقیقاتی در شرایط با و بدون تنفس



شکل ۱. چندضلعی GGE بای‌پلات برای تعیین ژنوتیپ‌های برتر (G) در محیط‌های (E) مختلف. محیط‌ها شامل: E1: گچساران-دیم، E2: قاملو-دیم، E3: کرمانشاه-دیم، E4: کرمانشاه-آبیاری تکمیلی، E5: کرمانشاه-آبیاری تکمیلی، E6: گنبد-دیم، E7: کرمانشاه-دیم، E8: کرمانشاه-آبیاری تکمیلی، E9: قاملو-دیم، E10: گاملو-دیم.

Fig. 1. Polygon view of GGE-biplot for determining superior genotypes (G) in different environments (E). Environments are E1: Gachsaran-without Irrigation; E2: Ghamlo-without Irrigation; E3: Kermanshah-without Irrigation; E4: Kermanshah-with Supplementary Irrigation; E5: Kermanshah-without Irrigation; E6: Kermanshah-with Supplementary Irrigation; E7: Gonbad-without Irrigation; E8: Kermanshah-without Irrigation; E9: Kermanshah-with Supplementary Irrigation; E10: Ghamlo-without Irrigation.

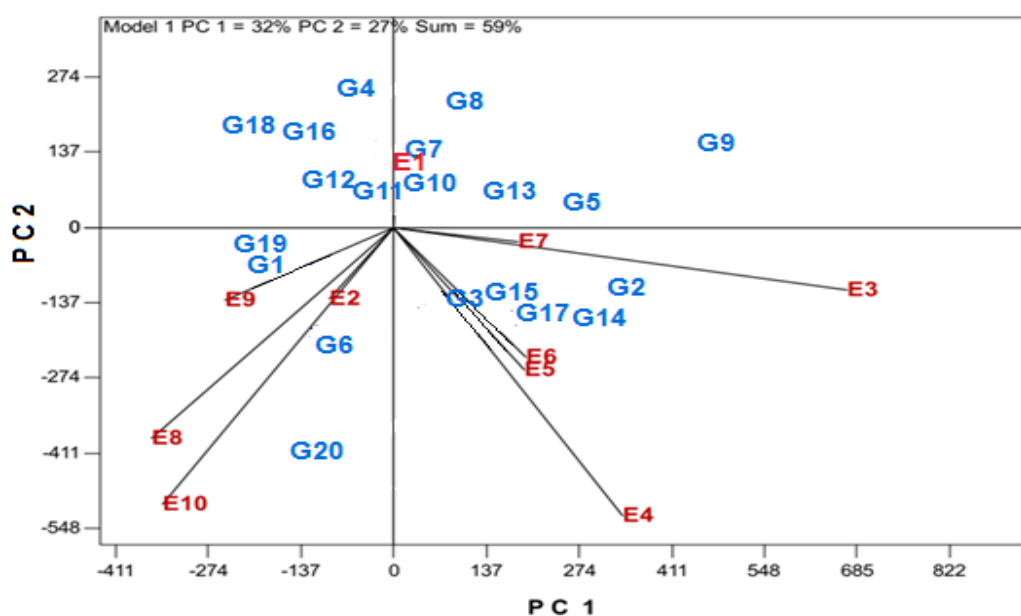
ژنوتیپ‌هایی که در طرف مثبت محور میانگین محیط‌ها قرار دارند میانگین عملکرد بیشتری نسبت به میانگین عملکرد کل دارند. نتایج شکل (۳) نشان داد که ژنوتیپ‌های G17 و G18 آن را علی‌الخصوص عملکرد هستند. محوری که دارای دو پیکان بوده و بیشترین عملکرد عمده است از مبدأ مختصات می‌گذرد عمده بر محور میانگین محیط است. این محور بیانگر اثر متقابل ژنوتیپ و محیط بوده و پایداری ژنوتیپ‌ها را مشخص می‌کند هر چه ژنوتیپ‌ها به

برای بررسی هم‌زمان پایداری و عملکرد ژنوتیپ‌ها از مختصات محیط متوسط (Average environment coordinate) استفاده می‌گردد (Yan and Kang, 2003). به این شکل بای‌پلات میانگین در مقابل پایداری نیز گفته می‌شود (Yan et al., 2007). در این بای‌پلات محوری که دارای یک پیکان است از مبدأ مختصات می‌گذرد، تصویر ژنوتیپ‌ها روی این محور تقریبی از عملکرد ژنوتیپ‌ها است، این محور را محور میانگین محیط می‌نامند (شکل ۳).

باشد (Yan, 2001). شکل (۴) وضعیت ژنتیک‌های موردنظری، نسبت به ژنتیک ایده‌آل را نمایش می‌دهد. بر اساس این بای پلات هر ژنتیکی که کمترین فاصله با ژنتیک ایده‌آل داشته باشد، به عنوان بهترین ژنتیک معرفی می‌شود. در مقایسه ژنتیک‌های موردنظری با ژنتیک ایده‌آل با توجه به شکل (۴)، مشخص شد که ژنتیک G17 نزدیک‌ترین ژنتیک به ژنتیک ایده‌آل بوده که بیشترین عملکرد را داشته و به علت قرار داشتن نزدیک محور میانگین محیط جزء ژنتیک‌های پایدار نیز بود. ژنتیک‌های G3 و G15 که دارای پایداری بالایی بودند نیز به ژنتیک ایده‌آل نزدیک بوده و می‌توانند به عنوان ژنتیک‌های مطلوب گزینش شوند. در مقابل ژنتیک‌های G8 و G4 که بیشترین فاصله از ژنتیک ایده‌آل فرضی داشتند به عنوان نامطلوب‌ترین ژنتیک‌ها معرفی شدند. پورداد و جمشید مقدم (and Jamshidmoghaddam, 2012) با استفاده از روش GGE بای پلات در بررسی ۱۶ ژنتیک گلنگ در شش ایستگاه تحقیقاتی در شرایط با و بدون تنش رطوبتی نشان دادند که رقم Hartman نزدیک‌ترین رقم به ژنتیک ایده‌آل بوده و Gila و Sina نیز به ژنتیک ایده‌آل نزدیک بودند.

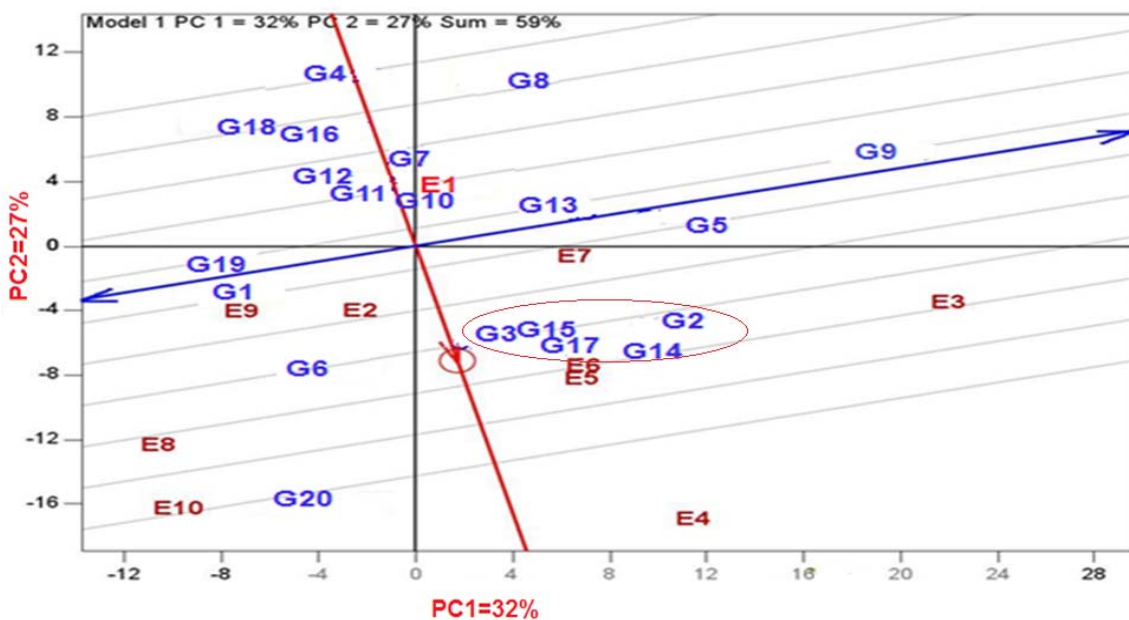
مبدأً این محور نزدیک‌تر باشند، نسبت به ژنتیک‌های دورتر پایداری بیشتری دارند. از نظر این بای پلات یک ژنتیک ایده‌آل، ژنتیکی است که علاوه بر عملکرد بالا، پایداری بالایی هم داشته باشد. شکل (۳) نشان داد که ژنتیک‌های G17، G13، G14 و G6 دارای عملکرد و پایداری بالابودند. ژنتیک‌های G19، G12، G10، G11، G13، G12، G10 و G7 دارای عملکرد پایین و پایداری بالا بودند. ژنتیک‌های G1 و G5 و G20 و G4 عملکرد و پایداری متوسط داشتند. ژنتیک G9، G19 و G12 دارای ناپایدارترین ژنتیک‌ها بودند. رقم مصنوعی G9 بیشترین عملکرد دانه و پایداری مناسب (نزدیک به مرکز محور پایداری) بود. در تحقیقی توسعه پورداد و جمشید مقدم (Pourdad and Jamshidmoghaddam, 2012) بررسی همزمان پایداری و عملکرد گلنگ با استفاده از بای پلات مختصات محیط متوسط، مشخص شد که ارقام Gila و Sina با عملکرد زیاد دارای پایداری پایداری بیشتری نیز بودند.

ژنتیک ایده‌آل، ژنتیکی فرضی است که علاوه بر پایداری، میانگین عملکرد بالایی هم داشته باشد و در بای پلات، از نظر مکانی در مرکز دوایر متعددالمرکز قرار داشته



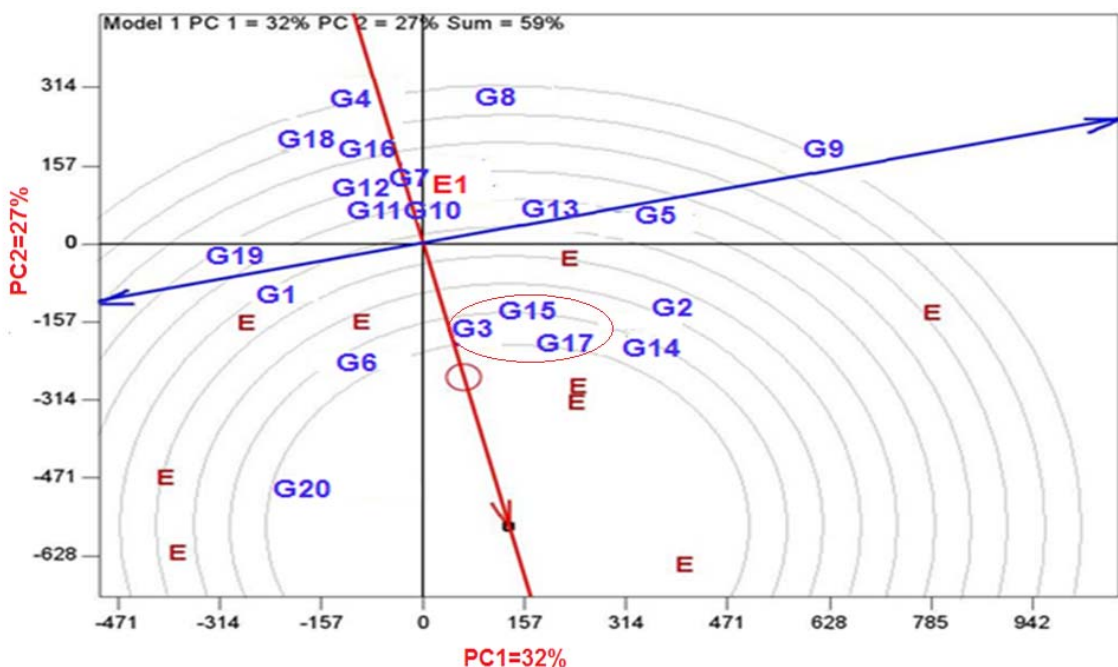
شکل ۲. نمایش گرافیکی رابطه بین محیط‌ها. محیط‌ها شامل E1: گچساران-دیم، E2: قاملو-دیم، E3: کرمانشاه-دیم، E4: کرمانشاه-آبیاری تکمیلی، E5: کرمانشاه-آبیاری تکمیلی، E6: کرمانشاه-آبیاری تکمیلی، E7: گنبد-دیم، E8: کرمانشاه-دیم، E9: کرمانشاه-آبیاری تکمیلی، E10: قاملو-دیم.

Fig. 2. Graphical representation of the relationship between environments. Environments are E1: Gachsaran-without Irrigation; E2: Ghamlo-without Irrigation; E3: Kermanshah-without Irrigation; E4: Kermanshah-with Supplementary Irrigation; E5: Kermanshah-without Irrigation; E6: Kermanshah-with Supplementary Irrigation; E7: Gonbad-without Irrigation; E8: Kermanshah-without Irrigation; E9: Kermanshah-with Supplementary Irrigation; E10: Ghamlo-without Irrigation.



شکل ۳. بای‌پلات مختصات محیط متوسط (AEC) برای گزینش هم‌زمان عملکرد و پایداری ژنوتیپ‌های آفتابگردان. محیط‌ها شامل E1: گچساران- دیم، E2: قاملو- دیم، E3: کرمانشاه- دیم، E4: کرمانشاه- تکمیلی، E5: کرمانشاه- آبیاری تکمیلی، E6: کرمانشاه- آبیاری گندم- دیم، E7: کرمانشاه- آبیاری تکمیلی، E8: کرمانشاه- دیم، E9: کرمانشاه- آبیاری تکمیلی، E10: قاملو- دیم.

Fig. 3. The average environment coordinate biplot (AEC) for simultaneous selection of yield and stability of sunflower genotypes. Environments are E1: Gachsaran-without Irrigation; E2: Ghamlo-without Irrigation; E3: Kermanshah-without Irrigation; E4: Kermanshah-with Supplementary Irrigation; E5: Kermanshah-without Irrigation; E6: Kermanshah-with Supplementary Irrigation; E7: Gonbad-without Irrigation; E8: Kermanshah-without Irrigation; E9: Kermanshah-with Supplementary Irrigation; E10: Ghamlo-without Irrigation.

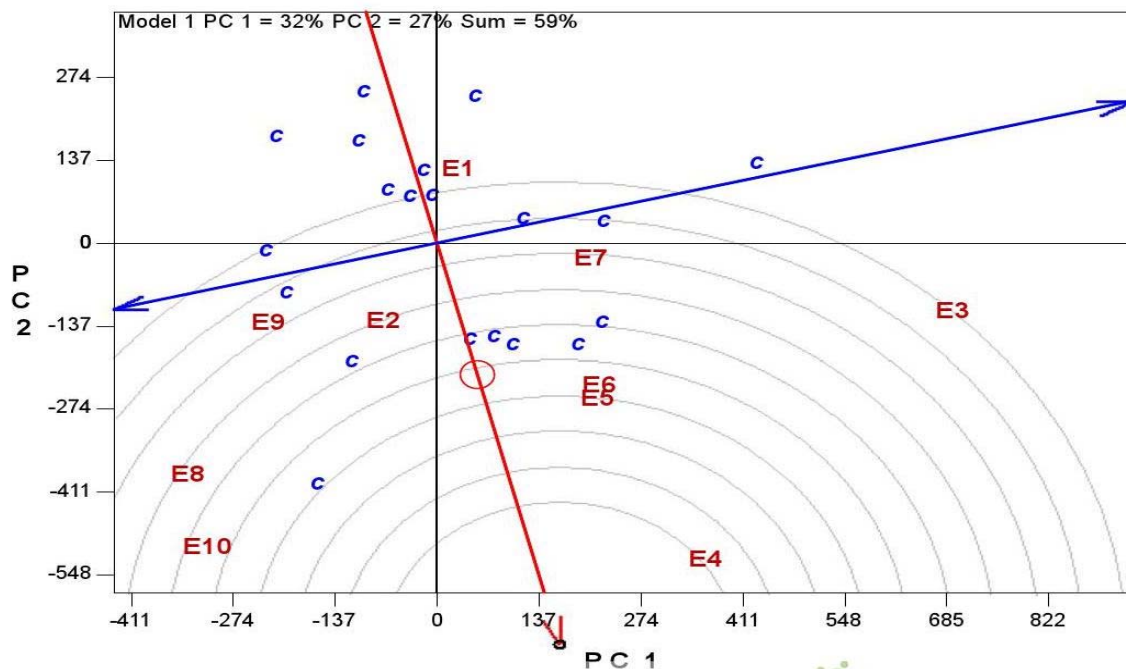


شکل ۴. بای‌پلات مقایسه ژنوتیپ‌های آفتابگردان نسبت به ژنوتیپ ایده‌آل از نظر عملکرد و پایداری

Fig. 4. Biplot for comparison of the sunflower genotypes with the ideal genotype for yield and stability.

توجه به شکل (۵)، مطلوب‌ترین محیط، محیط E4 (سراورد، سال زراعی ۸۹-۹۰ با آبیاری تکمیلی) است که کمترین فاصله از محیط ایده‌آل فرضی در مرکز دوایر دارد، سپس محیط‌های E6، E5، E7، E8، E2، E10، E9، E1، E3 و E1 به ترتیب در اولویت‌های بعدی قرار دارند که در بین آن‌ها محیط E1 (گچساران، سال ۹۲-۹۳، بدون آبیاری) نامطلوب‌ترین محیط بود.

یک محیط ایده‌آل باید دارای دو مشخصه باشد: دارای حداقل قابلیت تشخیص باشد و نمایندگی محیط هدف را دارا باشد (Yan and Kang, 2003). نرم‌افزار GGE با یک پلات از میانگین محیط‌ها به عنوان یک معیار استفاده می‌کند. محیط ایده‌آل فرضی در مرکز دوایر متحده‌مرکز در بای‌پلات قرار دارد. لذا مطلوبیت محیط‌های مورد بررسی نسبت به فاصله آن‌ها از محیط فرضی ایده‌آل که در مرکز دوایر متحده‌مرکز در بای‌پلات قرار دارد، سنجیده می‌شود. با



شکل ۵. بای‌پلات مقایسه محیط‌ها نسبت به محیط ایده‌آل. محیط‌ها شامل E1: گچساران-دیم، E2: قاملو-دیم، E3: کرمانشاه-دیم، E4: کرمانشاه-آبیاری تکمیلی، E5: کرمانشاه-آبیاری تکمیلی، E6: گنبد-دیم، E8: کرمانشاه-دیم، E9: کرمانشاه-آبیاری تکمیلی، E10: قاملو-دیم.

Fig. 5. Biplot of comparison of the environments with the ideal environment. Environments are E1: Gachsaran-without Irrigation; E2: Ghamlo-without Irrigation; E3: Kermanshah-without Irrigation; E4: Kermanshah-with Supplementary Irrigation; E5: Kermanshah-without Irrigation; E6: Kermanshah-with Supplementary Irrigation; E7: Gonbad-without Irrigation; E8: Kermanshah-without Irrigation; E9: Kermanshah-with Supplementary Irrigation; E10: Ghamlo-without Irrigation.

نتیجه‌گیری (Armaverski)G20 به عنوان ناپایدارترین ژنتیک‌ها شناخته شدند. همچنین نتایج تجزیه GGE بای‌پلات توانست محیط E4 (سراورد، سال زراعی ۸۹-۹۰ با آبیاری تکمیلی) که دارای کمترین فاصله از محیط فرضی ایده‌آل بود را به عنوان مطلوب‌ترین محیط معرفی کند.

بر اساس نتایج حاصل از شکل‌های ۱ و ۳ که مهم‌ترین اشکال حاصل از تجزیه گرافیکی GGE بای‌پلات هستند، ژنتیک‌های Sil-42(G3), Sil-82(G14), Sil-75(G15) و Sil-20(G17) پایدارترین و مطلوب‌ترین ژنتیک‌ها بودند، از طرفی ژنتیک‌های Sil-231(G9), Sil-94(G4) و Sil-231(G9) بودند.

منابع

- Allard, R.W., Bradshaw, A.D., 1964. Implication of Genotype-Environment Interactions in Applied Plant Breeding. *Crop Science*. 4, 503-508.
- Gabriel, K.R., 1971. The biplot graphic display of matrices with application to principal component analysis. *Biometrika*. 58, 453-467.
- Gauch, H.G., 2006. Statistical analysis of yield trials by AMMI and GGE. *Crop Science*. 46, 1488- 1500.
- Kang, M.S., 1993. Simultaneous selection for yield and stability in crop performance trials: Consequences for growers. *Agronomy Journal*. 85, 754-757.
- Kempton, R.A., 1984. The use of biplots in interpreting variety by environment interactions. *Journal of Agricultural Science*. 103, 123-135.
- Pourdad, S.S., Jamshidmoghaddam, M., 2012. Evaluation of yield stability of spring sunflower (*Carthamus tinctorius* L.) genotypes using GGE biplot. 12th Iranian Crop Sciences Congress, September 4-6. Karaj, Iran. [In Persian].
- Pourdad, S.S., Ghaffari, A., 2009. Comparison of parametric and non-parametric yield stability measures and their relationship in spring rapeseed (*Brassica napus* L.) in warm dry-lands of Iran. *Middle Eastern and Russian Journal of Plant Science and Biotechnology*. 3, 35-40.
- Purchase, J., 1997. Parametric analysis to describe genotype×environment interaction and yield stability in winter wheat. PhD. University of the Free State, South Africa.
- Seiler, G.J., 2007. Wild annual *Helianthus anomalus* and *H. deserticola* for improving oil content. *Agriculture and Forest Meteorology*. 74, 22-29.
- Yan, W., 2001. GGE Biplot-A windows application for graphical analysis of multi-environment trial data and other types of two-way data. *Agronomy Journal*. 93, 1111-1118.
- Yan, W., 2002. Singular-value partitioning in biplot analysis of multi environment trial data. *Agronomy Journal*. 94, 990-996.
- Yan, W., Kang, M.S., Woods, B.M., Cornelius, P.L., 2007. GGE biplot vs. AMMI analysis of genotype by environment data. *Crop Science*. 47, 643-655.
- Yan, W., Rajcan, I., 2002. Biplot analysis of sites and trait relations of soybean in Ontario. *Crop Science*. 42, 11-20.
- Yan, W., Tinker, N.A., 2005. An integrated biplot analysis system for displaying, interpreting and exploring genotype × environment interaction. *Crop Science*. 45, 1004-1016.
- Yan, W., Kang, M.S., 2003. GGE Biplot Analysis: A Graphical Tool for Breeders, Geneticists, and Agronomists. CRC Press. Boca Raton, FL. 30.
- Yan, W., Hunt, Sheng, A.Q., Szlavnics, Z., 2000. Cultivar evaluation and mega-environment investigation based on GGE biplot. *Crop Science*. 40, 597-605.
- Zobel, R.W., Wright, M.J., Gauch, H.G., 1988. Statistical analysis of a yield trial. *Agronomy Journal*. 80, 388-393.